

Mașina Dubins. Generarea traiectoriilor în plan
curs 3 - opțional SPER

Florin Stoican

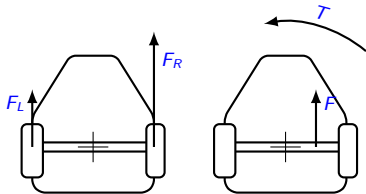
1 martie 2022

- 1 Mașina Dubins. Caracteristici și metode de planificare
- 2 Reformulări bazate pe platitudine
- 3 Generarea unei traiectorii prin optimizare
- 4 Concluzii

- 1 Mașina Dubins. Caracteristici și metode de planificare
 - Modele matematice
 - Dificultăți și particularități
 - Traectorii Dubins
 - Variații
- 2 Reformulări bazate pe platitudine
- 3 Generarea unei traiectorii prin optimizare
- 4 Concluzii

Model matematic – “robot diferențial”

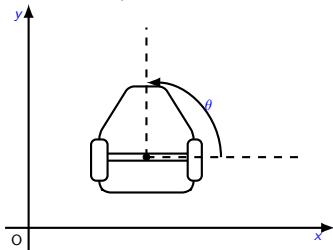
- Modelul matematic cel mai simplu
- Cele două roți se controlează independent



- Mișcarea este definită de poziție (x, y) în plan și orientare față de axa orizontală (θ)

$$\begin{cases} \dot{x} = \frac{r}{2}(u_l + u_r) \cos \theta \\ \dot{y} = \frac{r}{2}(u_l + u_r) \sin \theta \\ \dot{\phi} = \frac{r}{L}(u_r - u_l) \end{cases} \Rightarrow \begin{cases} \dot{x} = u_V \cos \theta \\ \dot{y} = u_V \sin \theta \\ \dot{\phi} = u_\phi \end{cases}$$

Mașina este condusă prin intrările u_V și u_ϕ .



Model matematic – “mașina simplă”

- Modelul matematic “robot diferențial” nu este suficient de realist
- Mai realist: “mașina simplă” ce nu poate aluneca lateral¹
- Schimbarea orientării (θ) se face prin schimbarea direcției roților în tandem

$$\begin{cases} \dot{x} = u_V \cos \theta \\ \dot{y} = u_V \sin \theta \\ \dot{\phi} = \frac{u_V}{L} \tan u_\phi \end{cases}$$

Mașina este condusă prin intrările u_V și u_θ .

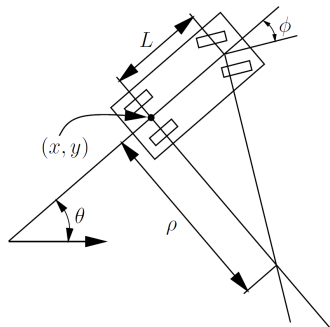


Fig. 13.1 din LaValle 2006

¹ LaValle, S. M. *Planning algorithms*. 2006

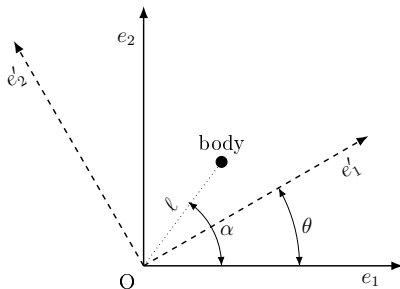
Variante ale modelului standard

- Mașina nu se poate întoarce “pe loc”; are un unghi $\phi_{\max} \leq \pi/2$, sau, echivalent spus, o rază de curbură minimă $\rho_{\min} = L / \tan \phi_{\max}$
- Este natural să considerăm constrângeri pe intrări (u_V și u_ϕ):
 mașina simplă: $u_V \in [-1, 1]$ și $u_\phi \in (-\phi_{\max}, \phi_{\max})$, îi corespunde o rază de curbură minimă $\rho_{\min} = L / \tan \theta_{\max}$
 mașina Reeds-Shepp: $u_V \in \{-1, 0, 1\}$, mașina funcționează în modurile “înapoi”, “parcare” și “înainte”
 mașina Dubins: $u_V \in \{0, 1\}$, mașina funcționează doar în modurile “parcare” și “înainte”.
- Aceste modele matematice sunt considerate **nonholonomice** deoarece apar constrângeri diferențiale ce nu pot fi integrate, în cazul nostru:

$$-\dot{x} \sin \theta + \dot{y} \cos \theta = 0.$$

Echivalent spus, nu este posibilă reformularea acestei constrângeri într-o nouă formă, în care nu apar derivate.

Rotații în 2D



- Rotația este echivalentă cu înmulțirea cu o matrice de forma:

$$R(\theta) = \begin{bmatrix} \cos \theta & -\sin \theta \\ \sin \theta & \cos \theta \end{bmatrix}$$

- Determinantul este $\det(R) = 1 \Rightarrow$ transformarea nu modifică volumul corpului
- În plus, cei doi vectori ai lui R sunt ortogonali:

$$\cos \theta \times (-\sin \theta) + \sin \theta \times \cos \theta = 0$$

Traectoria de timp minim pentru mașina Dubins

- Considerăm mașina Dubins simplificată:

$$\begin{cases} \dot{x} = \cos \theta \\ \dot{y} = \sin \theta \\ \dot{\theta} = u \end{cases}$$

- În cel mai simplu caz, suntem interesați de trasarea unei traiectorii între două configurații arbitrare (**configurație = combinație de poziție și orientare a vehiculului**)

$$(x(t_i), y(t_i), \theta(t_i)) \longrightarrow (x(t_f), y(t_f), \theta(t_f))$$

- Se arată că orice traiectorie **de timp minim** urmează o combinație de pași de tipul:
 - rotație la maxim într-o direcție (sens trigonometric sau anti-trigonometric)
 - deplasare în linie dreaptă
 - rotație la maxim încă o dată (sens trigonometric sau anti-trigonometric)
- Pentru orice pereche de configurații sunt doar 6 posibilități optime de trasare a traiectoriei Dubins:

$$\{LRL, RLR, LSL, LSR, RSL, RSR\}$$

unde, *L* – left, *R* – right și *S* – straight.

Traectorie Dubins – ilustrații

- Fiecărei componente îi asociem o mărime (unghi arc sau lungime segment):

$$\{L_\alpha R_\beta L_\gamma, R_\alpha L_\beta R_\gamma, L_\alpha S_d L_\gamma, L_\alpha S_d R_\gamma, R_\alpha S_d L_\gamma, R_\alpha S_d R_\gamma\},$$

unde $\alpha, \gamma \in [0, 2\pi)$, $\beta \in (\pi, 2\pi)$ și $d \geq 0$.

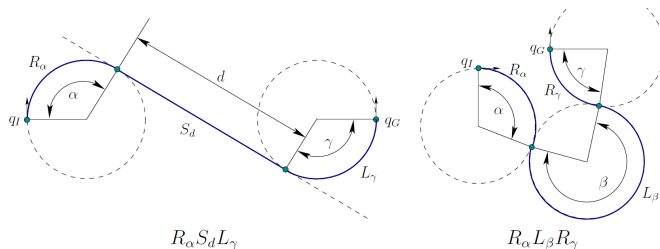


Fig. 15.4 din LaValle 2006

- Dintre toate posibilitățile trebuie selectată cea cu durata mai scurtă.

Traectoriile Reeds-Shepp

- La mașina Reeds-Shepp, spre deosebire de mașina Dubins, se permite și mersul înapoi. Modelul simplificat este:

$$\begin{cases} \dot{x} &= u_1 \cos \theta \\ \dot{y} &= u_1 \sin \theta \\ \dot{\theta} &= u_1 u_2 \end{cases}$$

unde $u_1 \in \{-1, 1\}$ și $u_2 \in [-\tan \phi_{\max}, \tan \phi_{\max}]$.

- Acum avem 48 de primitive posibile, compuse din până la 5 mișcări distincte
- Ilustrație traectorie:

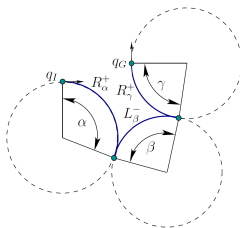


Fig. 15.9 din LaValle 2006

Cazuri similare

- Problema de atingere a unei configurații în timp minim se poate pune pentru diverse modele și cu constrângeri impuse acestora
- Pentru robotul diferențial (cel cu două roți ce se pot mișca independent), dacă penalizăm efortul de rotație în cost

$$\int_{t_i}^{t_f} \sqrt{\dot{x}(t)^2 + \dot{y}(t)^2} + |\dot{\theta}(t)| dt,$$

obținem traiectoriile Balkom-Mason, compuse din cel mult 5 componente ce iau valori dintr-un set de 4 mișcări distincte \Rightarrow 40 traiectorii distincte

- Traiectoriile Dubins se pot extinde pentru cazul 3D (dinamici UAV cu două grade de libertate)

- 1 Mașina Dubins. Caracteristici și metode de planificare
- 2 Reformulări bazate pe platitudine
 - Definiții și motivație
 - Aplicație pentru mașina Dubins
- 3 Generarea unei traiectorii prin optimizare
- 4 Concluzii

Motivație și cazul liniar – I

- Cum controlăm de fapt un sistem? Care este legătura între intrare și ieșire?
- Să ne aducem aminte de ecuația de stare a unui model liniar:

$$\dot{x}(t) = Ax(t) + Bu(t)$$

- Reprezentările pe stare nu sunt unice. Dacă sistemul este **controlabil** putem să îl aducem într-o formă **canonic controlabilă**²:

$$\begin{bmatrix} \dot{x}_1(t) \\ \vdots \\ \dot{x}_{n-1}(t) \\ \dot{x}_n(t) \end{bmatrix} = \begin{bmatrix} 0 & 1 & \dots & 0 \\ \vdots & \vdots & \ddots & \vdots \\ 0 & 0 & \dots & 1 \\ \gamma_1 & \gamma_2 & \dots & \gamma_n \end{bmatrix} \begin{bmatrix} x_1(t) \\ \vdots \\ x_{n-1}(t) \\ x_n(t) \end{bmatrix} + \begin{bmatrix} 0 \\ \vdots \\ 0 \\ 1 \end{bmatrix} u(t)$$

- Avem un lanț de integrări:

$$\dot{x}_1 = x_2, \quad \dot{x}_2 = x_3, \quad \dots \quad \dot{x}_{n-1} = x_n, \quad \dot{x}_n = \gamma_1 x_1 + \dots \gamma_n x_n + u$$

²Reprezentarea este valabilă pentru cazul particular cu o intrare. Devine mai complicat pentru cazul general.

Motivație și cazul liniar – II

- Ieșirea sistemului este o combinație de stări, pentru simplitate alegem $y(t) = x_1(t)$
- Pornind de la lanțul de integrări:

$$\dot{x}_1 = x_2, \quad \dot{x}_2 = x_3, \quad \dots \quad \dot{x}_{n-1} = x_n, \quad \dot{x}_n = \gamma_1 x_1 + \dots \gamma_n x_n + u$$

- Observăm că putem reformula intrarea u ce corespunde unei ieșiri dorite $y(t)$ ca fiind

$$u(t) = y^{(n)}(t) - \gamma_1 y(t) - \dots - \gamma_n y^{(n-1)}(t)$$

- Mod de lucru pentru planificarea mișcării:

- 1 construim o referință $\bar{y}(t)$ și derivatele acesteia până la ordinul $n - 1$
- 2 construim intrarea de referință asociată $\bar{u}(t)$
- 3 atașăm un mecanism de “trajectory tracking” pentru a penaliza abaterile: $u(t)$ depinde de $\bar{u}(t)$ și de eroarea de urmărire $y(t) - \bar{y}(t)$

- Cum generalizăm pentru cazul neliniar?

Reprezentarea plății a unui sistem neliniar

- Noțiunea de platitudine ne permite să exprimăm stările/intrările sistemului în funcție de o ieșire plătită ce, la rândul său, depinde doar de stare și derivate ale intrării.

- Pentru

$$\dot{x} = f(x, u), \quad x \in \mathbb{R}^n, u \in \mathbb{R}^m,$$

cu ieșirea plătită

$$y = h(x, u, \dot{u}, \dots, u^{(r)}),$$

- traiectoriile sistemului (x, u) se scriu în funcție de ieșirea plătită și derivatele sale:

$$x = \phi_x(y, \dot{y}, \dots, y^{(q)}), \quad u = \phi_u(y, \dot{y}, \dots, y^{(q+1)})$$

- Platitudinea ne-a permis să “ascundem” relațiile dinamice dintre intrare și stare: putem exprima totul în funcție de o singură mărime $(y(t))$ și derivatele sale)

Reformularea plată pentru mașina Dubins

- Dinamica simplificată pentru mașina Dubins:

$$\begin{cases} \dot{x} &= u_V \cos \theta \\ \dot{y} &= u_V \sin \theta \\ \dot{\phi} &= \frac{u_V}{L} \tan u_\phi \end{cases}$$

- Alegem ca ieșire plată $z = [z_1 \ z_2]^\top = [x \ y]^\top$
- Reformulare a intrărilor (u_V, u_ϕ) și a stărilor rămase (ϕ):

$$\begin{cases} u_V &= \sqrt{\dot{z}_1^2 + \dot{z}_2^2} \\ u_\phi &= \arctan\left(\frac{L\dot{\phi}}{u_V}\right) = \arctan\left(L \frac{\ddot{z}_2\dot{z}_1 - \dot{z}_2\ddot{z}_1}{(\dot{z}_1^2 + \dot{z}_2^2)^{\frac{3}{2}}}\right) \\ \theta &= \arctan\left(\frac{\dot{z}_2}{\dot{z}_1}\right) \end{cases}$$

Alte implementări – UAV cu 2 grade de libertate

Considerăm un model 2D 3-DOF al unui UAV cu aripă fixă în care autopilotul execută întoarceri la altitudine fixă:

$$\begin{aligned}\dot{x}(t) &= V_a(t) \cos \psi(t), & \psi(t) &= \arctan \left(\frac{\dot{z}_2(t)}{\dot{z}_1(t)} \right), \\ \dot{y}(t) &= V_a(t) \sin \psi(t), & V_a(t) &= \sqrt{\dot{z}_1^2(t) + \dot{z}_2^2(t)}, \\ \dot{\psi}(t) &= \frac{g \tan \phi(t)}{V_a(t)}. & \phi(t) &= \arctan \left(\frac{1}{g} \frac{\ddot{z}_2(t)\dot{z}_1(t) - \dot{z}_2(t)\ddot{z}_1(t)}{\sqrt{\dot{z}_1^2(t) + \dot{z}_2^2(t)}} \right).\end{aligned}$$

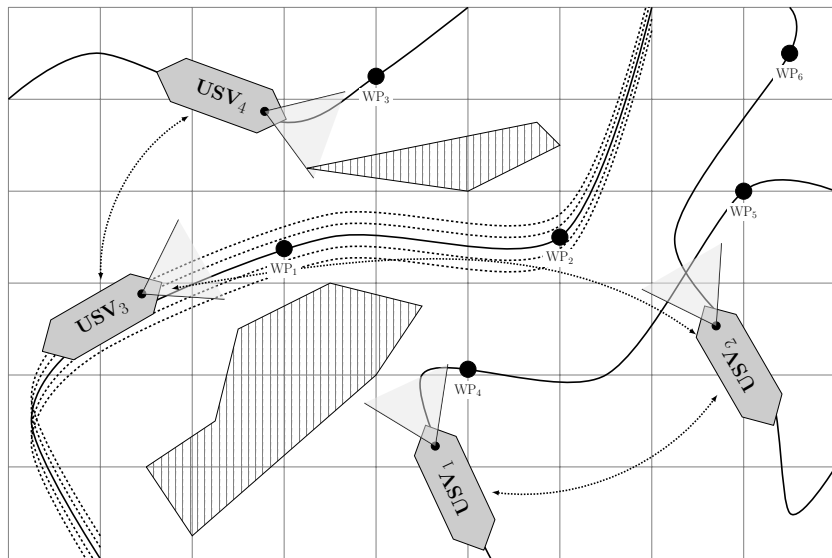
Ieșirea plată este luată după componentele de poziție ale stării,

$$\mathbf{z}(t) = [\mathbf{z}_1(t) \quad \mathbf{z}_2(t)]^\top = [\mathbf{x}(t) \quad \mathbf{y}(t)]^\top.$$

- toate stările (și constrângeri/costuri asociate) sunt acum exprimate în funcție de ieșirea plată și un număr finit de derivate ale acesteia
- problema se reduce la găsirea unei ieșiri $\mathbf{z}(t)$ ce respectă restricțiile

- 1 Mașina Dubins. Caracteristici și metode de planificare
- 2 Reformulări bazate pe platitudine
- 3 Generarea unei traiectorii prin optimizare
 - Problema de optimizare asociată
 - Parametrizări cu funcții spline
- 4 Concluzii

Constrângeri și costuri – planificarea mișcării



Generarea traiectoriei ca o problemă de optimizare

- leșirea plată $y(t)$ se parametrizează pe o familie de funcții $\{B_i(t)\}_{i=1\dots n}$:

$$z(t) = \sum_{i=1}^n P_i B_i(t)$$

- Ca familii de funcții bază se pot folosi funcții polinom, Bezier, B-spline, NURBS, etc.
- O problemă tipică de optimizare a planificării mișcării (minimizează energia, respectă dinamica, trece prin puncte intermediare, evită coliziuni, respectă limite de viteză):

$$\min_{z(t)} \int_{t_i}^{t_f} \|\dot{z}(t)\|^2 dt \quad \leftarrow \text{cost} \rightarrow \quad \min_{P_i} \int_{t_i}^{t_f} \left\| P_i \dot{B}_i(t) \right\| dt$$

$$\text{s.t. } z(\tau_j) = w_j, \forall j \quad \leftarrow \text{trecere prin puncte} \rightarrow \text{s.t.} \quad \sum_{i=1}^n P_i B_i(\tau_j) = w_j, \forall j$$

$$z(t) \notin O_k, \forall k \quad \leftarrow \text{ocolire obstacole} \rightarrow \quad \sum_{i=1}^n P_i B_i(t) \notin O_k, \forall k$$

Definiție și construcție funcții Bezier

- Funcțiile Bezier sunt date de formula

$$B_{i,n}(t) = \binom{n}{i} (1-t)^{n-i} t^i, \quad \forall t \in [0, 1]$$

Termenul binomial: $\binom{n}{i} = \frac{n!}{i!(n-i)!}$

- O curbă Bezier se obține ponderând funcțiile bază $B_{i,n}(t)$ cu puncte de control P_i :

$$\begin{aligned} z(t) &= \sum_{i=0}^n B_{i,n}(t) P_i = \sum_{i=0}^n \binom{n}{i} (1-t)^{n-i} t^i P_i \\ &= (1-t)^n P_0 + \binom{n}{1} (1-t)^{n-1} t P_1 + \cdots + \binom{n}{n-1} (1-t) t^{n-1} P_{n-1} + t^n P_n \end{aligned}$$

- Derivatele ieșirii plate se pot și ele exprima în funcție de punctele de control:

$$\dot{z}(t) = n \sum_{i=0}^{n-1} B_{i,n-1}(t) (P_{i+1} - P_i)$$

- Curbă Bezier $z(t)$ se găsește în interiorul regiunii de control definite de $\{P_i\}$

Exemplu utilizare – I

- O problemă tipică de optimizare a planificării mișcării (minimizează energia, respectă dinamica, trece prin puncte intermediare, evită coliziuni, respectă limite de viteză):

$$\min_{u(\cdot)} \int_{t_i}^{t_f} \|\dot{z}(t)\|^2 dt$$

s.t. dinamica se respectă,

$$z(t_j^c) = c_j, \forall j,$$

$$z(t) \notin \mathcal{O}_i, \forall i, \forall t \in [t_i, t_f]$$

$$\underline{V}^2 \leq \dot{z}_1^2(t) + \dot{z}_2^2(t) \leq \overline{V}^2.$$

$$\min_{P_1 \dots P_n} \sum_{i=1}^{n-1} \sum_{j=1}^{n-1} \tilde{P}_i^\top \tilde{P}_j \int_{t_i}^{t_f} B_{i,d-1,\zeta}(t) B_{j,d-1,\zeta}(t) dt$$

$$\text{s.t. } \sum_{i=1}^n B_{i,d,\zeta}(t_j^c) P_i = c_j, \forall j,$$

$$\left(\bigcup_{\ell=d+1}^n \text{ConvHull}_{i=\ell-d}^{\ell} \{P_i\} \right) \cap \mathcal{O}_i = \emptyset, \forall i,$$

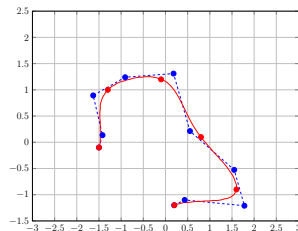
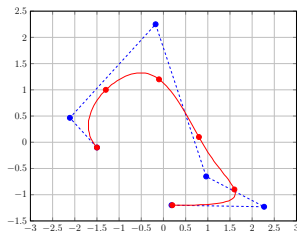
$$\left(\bigcup_{\ell=d}^{n-1} \text{ConvHull}_{i=\ell-d+1}^{\ell} \{\tilde{P}_i\} \right) \cap \mathcal{C}(\underline{V}) = \emptyset, \tilde{P}_i \in \mathcal{C}(\overline{V}).$$

- Luând $z(t) = \sum_{\ell=1}^n P_\ell B_{\ell,d,\zeta}(t)$ avem:

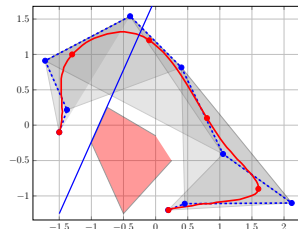
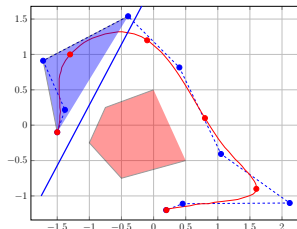
- o formulare **suficientă** față de forma inițială
- o reformulare în funcție de punctele de control (ponderile asociate sistemului)
- permite **verificarea constrângerilor continue**

Exemplu utilizare – II

- Minimizăm energia traiectoriei forțând trecerea prin puncte intermediare:



- Garantăm ocolirea obstacolelor:



Variații - funcții B-spline (I)

Considerăm o secvență de instanțe de timp ce formează un *knot vector*³:

$$\zeta = \{\tau_1 \leq \tau_2 \leq \dots \leq \tau_m\}.$$

Pentru $d \leq m - 2$, fiecare secvență nenulă (cu $\tau_\ell \neq \tau_{\ell+d+1}$) $\{\tau_\ell \leq \dots \leq \tau_{\ell+d+1}\} \subset \zeta$ conduce recursiv la funcția B-spline ℓ de ordin d :

$$B_{\ell,d,\zeta}(t) = \frac{t - \tau_\ell}{\tau_{\ell+d} - \tau_\ell} B_{\ell,d-1,\zeta}(t) + \frac{\tau_{\ell+d+1} - t}{\tau_{\ell+d+1} - \tau_{\ell+1}} B_{\ell+1,d-1,\zeta}(t),$$

$$B_{\ell,0,\zeta}(t) = \begin{cases} 1, & t \in [\tau_\ell, \tau_{\ell+1}), \\ 0, & \text{altfel.} \end{cases}$$

Luând $n = m - d - 1$ funcții B-spline $\{B_{1,d,\zeta}, \dots, B_{n,d,\zeta}\}$ cu punctele de control $\{P_1, \dots, P_n\} \subset \mathbb{R}^p$ conduce la curba B-spline

$$z(t) = \sum_{i=1}^n P_i B_{i,d,\zeta}(t), \quad \forall t \in [\tau_{d+1}, \tau_{n+1}].$$

³ Lyche, T., C. Manni and H. Speleers. "Foundations of spline theory: B-splines, spline approximation, and hierarchical refinement". in *Splines and PDEs: From Approximation Theory to Numerical Linear Algebra*: 2018, pp. 1-76, 2018.

Variații - funcții B-spline (II)

- Cu suport local, pentru orice $\ell = 1 \dots n$:

$$B_{\ell,d,\zeta}(t) = 0, \forall t \notin [\tau_\ell, \tau_{\ell+d+1}]$$

- Convexitate locală, pentru orice $\ell = d + 1 \dots n$:

$$z(t) = \sum_{i=\ell-d}^{\ell} P_i B_{i,d,\zeta}(t), \forall t \in [\tau_\ell, \tau_{\ell+1})$$

Echivalentul global:

$$z(t) = \sum_{i=1}^n P_i B_{i,d,\zeta}(t), \forall t \in [\tau_{d+1}, \tau_{n+1}).$$

- Netezime: $B_{i,d,\zeta}(\tau_\ell) \in \mathcal{C}^{d-\mu_\ell}$ la $\tau_\ell \in \zeta$ cu multiplicitate μ_ℓ și \mathcal{C}^∞ altfel.

- Partiționarea unității, pentru orice $\ell = d + 1 \dots n$:

$$\sum_{i=\ell-d}^{\ell} B_{i,d,\zeta}(t) = 1, \forall t \in [\tau_\ell, \tau_{\ell+1})$$

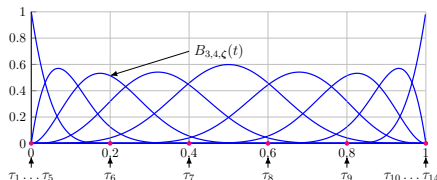
Echivalentul global:

$$\sum_{i=1}^n B_{i,d,\zeta}(t) = 1, \forall t \in [\tau_{d+1}, \tau_{n+1}).$$

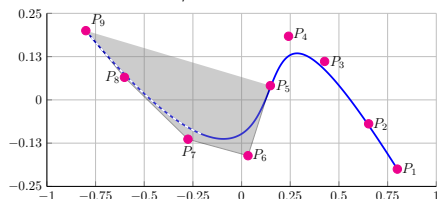
Variații - funcții B-spline (III)

- un knot-vector ce partitionează intervalul $[0, 1]$ în $p = 5$ sub-intervale echidistante
- primul și ultimul punct au multiplicitate $d + 1 = 5$
- aplicând definiția pentru $d = 4$ conduce la $n = 10$ funcții B-spline bază
- adăugând puncte de control, conduce la o curbă B-Spline

funcții bază B-spline



curba B-spline și punctele ei de control



- 1 Mașina Dubins. Caracteristici și metode de planificare
- 2 Reformulări bazate pe platitudine
- 3 Generarea unei traiectorii prin optimizare
- 4 Concluzii**

Concluzii

- Mașina Dubins și variațiile sale acoperă o largă clasă de platforme robotice pentru deplasarea în plan.
- Traectoriile Dubins sunt relativ conservative dar se pot construi relativ ușor/analitic.
- Reformulările cu platitudine permit să exprimăm intrarea în funcție de ieșirea plată.
- Ieșirea plată se parametrizează cu funcții bază (Bezier sau B-spline) ceea ce permite reformularea problemei de optimizare asociate unei probleme de planificare a mișcării.

- [1] LaValle, S. M. *Planning algorithms*. 2006.
- [2] Lyche, T., C. Manni and H. Speleers. "Foundations of spline theory: B-splines, spline approximation, and hierarchical refinement". in *Splines and PDEs: From Approximation Theory to Numerical Linear Algebra*: 2018, pp. 1–76, 2018.